

Министерство высшего и среднего специального образования РСФСР

Горьковский ордена Трудового Красного Знамени
научно-исследовательский радиофизический институт (НИРФИ)

Препринт № 262

НИЗКОЧАСТОТНЫЙ БЛОК РАДИОМЕТРА В ЦИФРОВОМ ИСПОЛНЕНИИ

С.А.Волохов

С.Я.Корсаков

А.А.Кочетков

Горький 1988

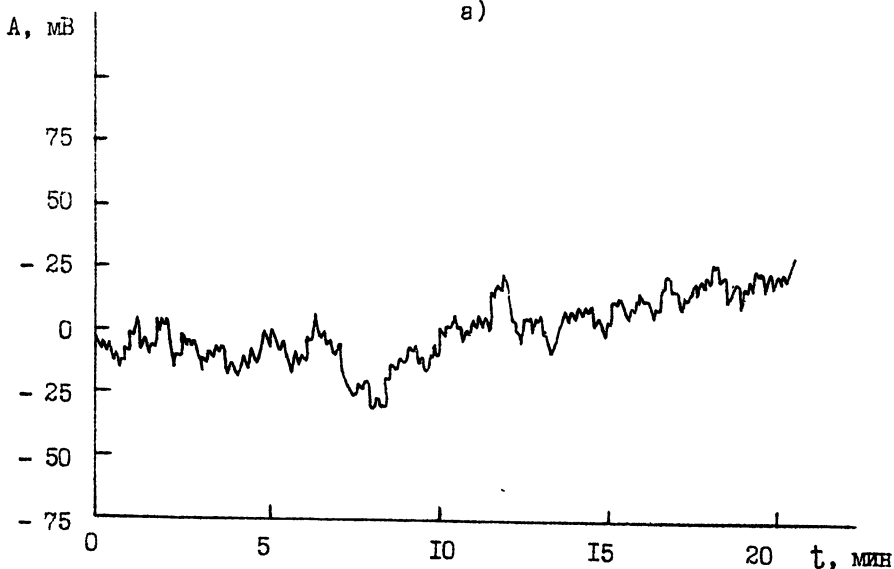
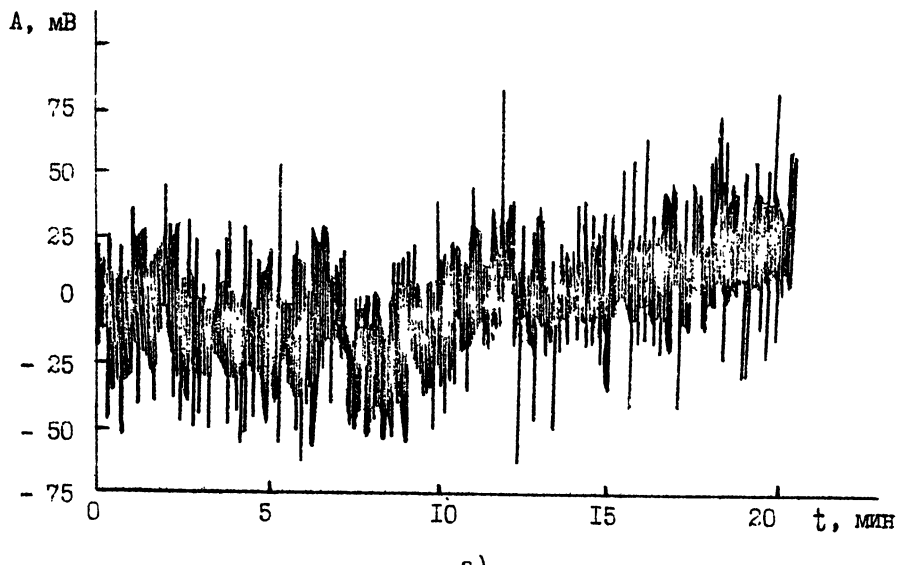
В о л о х о в С.А., К о р с а к о в С.Я., К о ч е т к о в А.А.

НИЗКОЧАСТОТНЫЙ БЛОК РАДИОМЕТРА В ЦИФРОВОМ ИСПОЛНЕНИИ //
Препринт № 262 . - Горький, НИРФИ. - 1988. - 19 с.

УДК 535.8: 535.214.4

Рассматривается структурная схема низкочастотного блока, осуществляющего цифровую обработку сигнала модуляционного радиометра, непосредственно после квадратичного детектора. Описана методика выбора основных параметров устройства, функциональные связи и принцип работы. Показано, что использование цифрового интегрирования и синхронного детектирования сокращает время отдельного измерения, допускает использование больших постоянных времени и повышает чувствительность радиометра.

В настоящее время значительно расширился круг радиофизических исследований, связанных с использованием радиометрических приёмников и систем различных частотных диапазонов. В связи с этим возросли требования к стабильности и чувствительности приёмников; к автоматизации процесса измерений и контролю основных характеристик аппарата; к оперативному изменению режима измерений в ходе эксперимента и помехозащищённости. Решение поставленных задач в значительной степени определяется характеристиками последетекторного, низкочастотного тракта радиометра. Известно, что одним из приемлемых путей повышения чувствительности является уменьшение энергетической полосы ΔF_{3H} фильтра низких частот, т.е. увеличение времени усреднения. Однако, реализация постоянных времен больших нескольких десятков секунд в традиционно применяемых в радиометрах аналоговых активных фильтрах весьма затруднительна и не приводит к желаемому увеличению чувствительности. Причиной этому являются медленные флуктуации выходного сигнала, обусловленные дрейфами постоянной составляющей и коэффициента усиления активных элементов фильтра низких частот. Источником мешающих флуктуаций является и аналоговый синхронный детектор. Из-за неидеальности ключей он вносит в сигнал коммутационную помеху, представляющую собой перенесенные к нулевой частоте спектральные составляющие опорного напряжения. Наличие медленных флуктуаций, период которых составляет единицы минут, препятствует дополнительному усреднению выходного сигнала, например, с помощью микропроцессора. На рис. 1а приведена реализация выходного сигнала радиометра при усреднении фильтром низких частот первого порядка с постоянной времени 1 с, полученная при измерении интенсивности излучения и "чёрного тела", и результат её усреднения цифровым интегратором с постоянной времени одна минута (рис. 1б). При большом усреднении медленные дрейфы играют решающую роль. Коэффициент уменьшения дисперсии шума составляет 7,8



б)
Рис. I

вместо 30,3 при отсутствии медленных флуктуаций. Устранение этих явлений и повышение чувствительности возможно путем применения цифровой обработки сигналов после квадратичного детектора. В данной работе предлагается один из вариантов цифрового низкочастотного блока модуляционного радиометра.

Рассмотрим выходной сигнал квадратичного детектора U_d . Предположим, что эквивалентная шумовая температура сигнала пренебрежимо мала по сравнению с шумовой температурой радиометра, и T_w не изменяется за время измерения. В этом случае сигнал на выходе квадратичного детектора можно представить в виде [1] :

$$U_d(t) = a U_o(t) + \eta(t), \quad (1)$$

где $a = \beta k T_c \Delta f_{\text{эн}} / 2$ - неизвестная амплитуда сигнала, $U_o(t)$ - опорное напряжение модуляции с периодом $T_{\text{мод}}$, которое будем считать прямоугольным, $\eta(t)$ - стационарный шум с математическим ожиданием $\bar{\eta} = \sqrt{k T_w \Delta f_{\text{эн}}}$; дисперсией $\sigma_{\eta}^2 = 2 \beta^2 (\frac{1}{k T_w \Delta f_{\text{эн}}})^2$ с энергетической полосой $\Delta f_{\text{раз}}$, β - коэффициент усиления высокочастотного тракта приемника, включая квадратичный детектор, $\Delta f_{\text{эн}}$ - постоянная Больцмана, $\Delta f_{\text{эн}}$ - энергетическая полоса высокочастотного тракта. Нетрудно видеть, что оценка максимального правдоподобиядается соотношением [2]

$$\hat{a} = \frac{1}{T} \int_0^T U_d(t) U_o(t) dt, \quad (2)$$

где T - время измерения. Таким образом, алгоритм последедетекторной обработки сигналов в низкочастотном тракте модуляционного радиометра сводится к синхронному детектированию с последующим нахождением среднего значения.

В настоящее время операция (2) реализуется чаще всего с помощью активных RC фильтров первого порядка, при этом

$$\hat{a} = \int_0^{T_{RC}} \frac{1}{\tau_{RC}} \exp\left(-\frac{t-t'}{\tau_{RC}}\right) U_d(t') dt', \quad (3)$$

где T_{RC} - постоянная времени фильтра низких частот. Очевидно, что

оценка (3) лишь приближенно соответствует (2). Время измерения T_{RC} в данном случае должно превышать длительность переходного процесса в RC -фильтре. Если задаться некоторой допустимой относительной погрешностью установления выходного сигнала ε , то нетрудно видеть, что необходимое время усреднения с помощью RC -фильтра имеет вид

$$T_{RC} = -\tau_{RC} \ln \varepsilon. \quad (4)$$

На практике время измерения выбирают обычно $T_{RC} = (3-5)\tau_{RC}$.

В нашем случае подход к реализации (3) сводится к цифровому интегрированию

$$\hat{a} = \frac{1}{N} \sum_{i=1}^N U_a(i\Delta t) U_0(i\Delta t), \quad (5)$$

где $U_a(i\Delta t)$ – выборки из процесса $U_a(t)$ через интервал времени Δt , $N = T_u/\Delta t$ – количество выборок за интервал измерения T_u . При этом длительность переходного процесса конечна и равна T_u , поэтому погрешность установления выходного сигнала отсутствует.

Установим связь между T_{RC} и T_u при условии равной чувствительности. Поскольку энергетическая полоса $\Delta F_{\text{эн}} = 1/4\tau_{RC}$, то согласно [1]

$$\Delta T_{RC} = \sqrt{2} T_u \frac{1}{\sqrt{\Delta f_{\text{рад}} \tau_{RC}}} . \quad (6)$$

Чувствительность цифрового блока получим анализируя отношение сигнал/шум в соответствии с выражением (5) при времени дискретизации много меньшем интервала корреляции $U_a(t)$. Оценку (5) можно считать оптимальной, а цифровой оцифрователь согласованным фильтром. Приравнивая отношение сигнал/шум на выходе согласованного фильтра единице, получим чувствительность цифрового блока ΔT_u

$$\frac{2 \left(\frac{\beta k \Delta T_u \Delta f_{\text{эн}}}{2} \right)^2}{2 \frac{\beta^2 (k T_u \Delta f_{\text{эн}})^2}{\Delta f_{\text{рад}}} } = 1 ,$$

где $2\beta^2(kT_{\text{ш}} \Delta f_{\text{эн}})^2 / \Delta f_{\text{рад}}$ - спектральная плотность шума $n(t)$ в полосе $\Delta f_{\text{рад}}$. Из этих соотношений имеем

$$\Delta T_{\text{ц}} = 2T_{\text{ш}} \frac{1}{\sqrt{\Delta f_{\text{рад}} T_{\text{ц}}}} \quad (7)$$

Приравнивая (6) и (7), с учетом формулы (4) получим

$$\frac{\Delta T_{\text{RC}}}{\Delta T_{\text{ц}}} = -\frac{1}{2} \ln \varepsilon.$$

График этой зависимости приведен на рис. 2, из которого видно, что при $\varepsilon = 0,1\%$ цифровой блок позволяет сократить время измерения в 3,4 раза. Соответственно, при одинаковых временах измерения цифровой блок дает выигрыш в чувствительности

$$\frac{\Delta T_{\text{ц}}}{\Delta T_{\text{RC}}} = \sqrt{-\frac{2}{\ln \varepsilon}}. \quad (8)$$

Эта зависимость также представлена на рис. 2. Соотношение (8) получено в предположении идеальности аналогового низкочастотного блока,

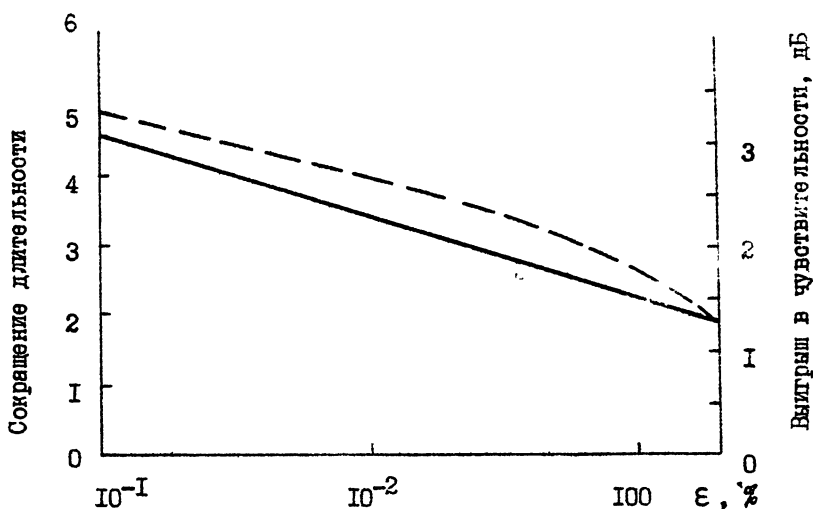


Рис. 2

а также малости времени дискретизации входного сигнала по сравнению с его интервалом корреляции и малости ошибки квантования по амплитуде по сравнению с погрешностью измерения. Если первое допущение не достижимо на практике, то второе вполне реализуемо.

Структурная блок схема цифрового низкочастотного блока радиометра, начиная с квадратичного детектора, приведена на рис. 3.

Модулирующее напряжение U_0 (рис. 5), вырабатываемое генератором опорного напряжения (рис. I), осуществляет управление переключателем в высокочастотном тракте и схемами изменения знака цифрового низкочастотного блока. Форма сигнала поступающего на вход квадратичного детектора представлена на рис. 5 как напряжение $U_1(t)$.

Фильтр низких частот предназначен для предварительной фильтрации и ограничения полосы частот, обеспечивающих функционирование последующих блоков цифровой обработки. Напряжение U_2 (рис. 5) на выходе ФНЧ имеет тот же период и фазу, что и модулирующее напряжение U_0 , а амплитуда пропорциональна разности мощностей шумовых сигналов на входных клеммах СВЧ-переключателя, расположенного в высокочастотном тракте радиометра. Частота среза ФНЧ определяется частотой опорного напряжения U_0 и типом фильтра. Для фильтра низких частот первого порядка со спадом 6 дБ/октава частота среза f_1 , определяется соотношением

$$f_1 = 1,17 f_0,$$

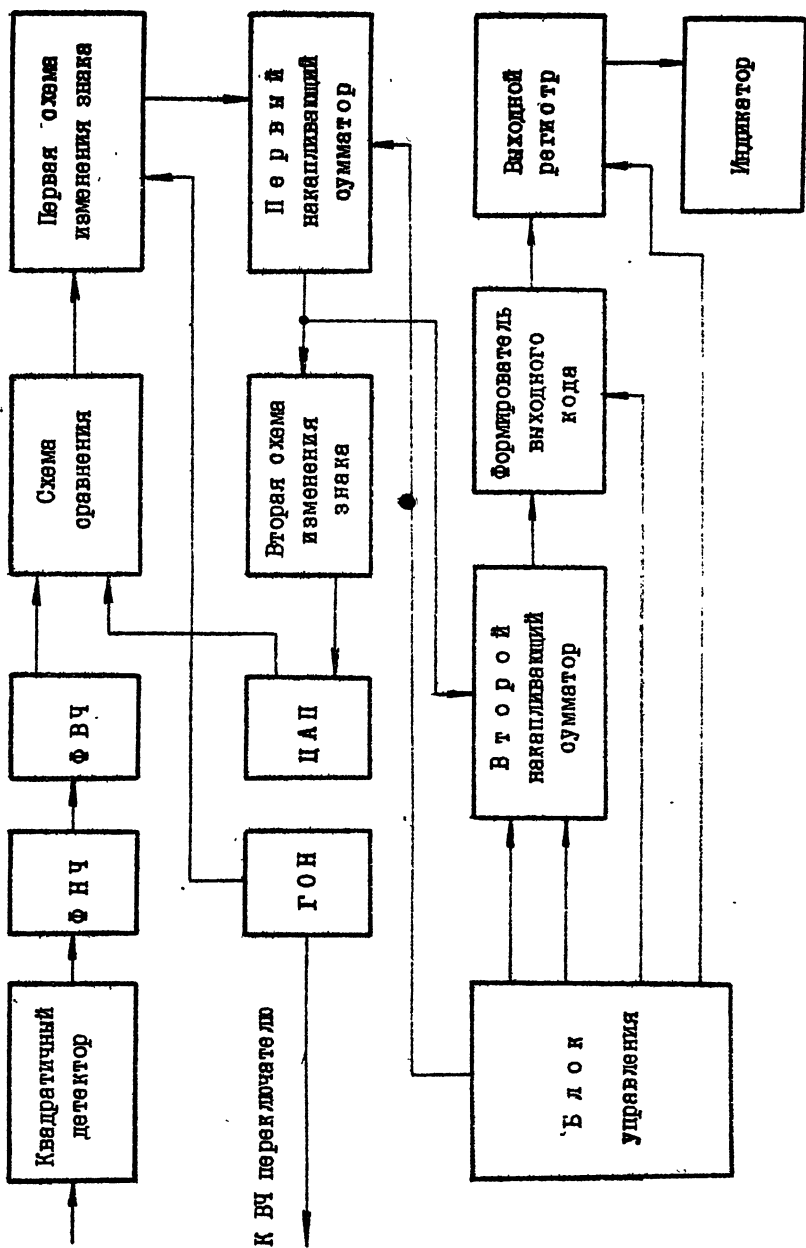
где f_0 — частота опорного напряжения

Фильтр высоких частот устраниет постоянную составляющую напряжения U_2 . Его частота среза f_2 выбирается из условия неискаженной передачи информативного напряжения

$$f_2 \ll f_0.$$

В примере конкретной реализации (рис. 4) ФВЧ образован разделительным конденсатором С совместно с входным сопротивлением схемы сравнения. В сумме ФНЧ и ФВЧ выполняют функции полосового фильтра и могут быть таковым заменены с учётом сохранения вышеизложенных требований к полосе частот.

Схема сравнения формирует одноразрядный цифровой код A_1 (рис. 5), который принимает значение "+1" "-1" в соответствии со знаком неравенства текущих значений выходного напряжения ФВЧ U_3 и напряжения U_4 , поступающего на второй вход схемы сравнения с цифроаналогового пре-



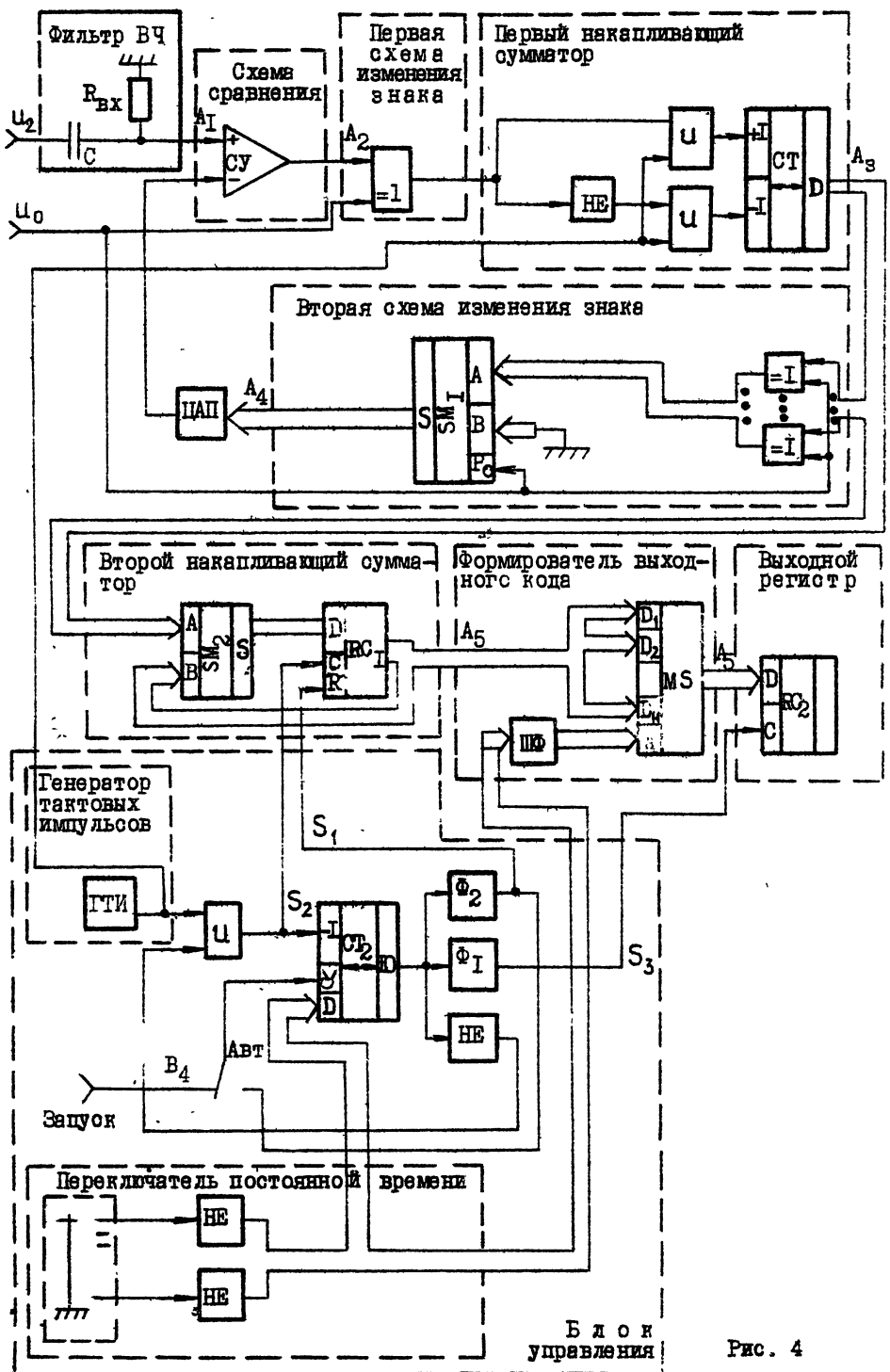


Рис. 4

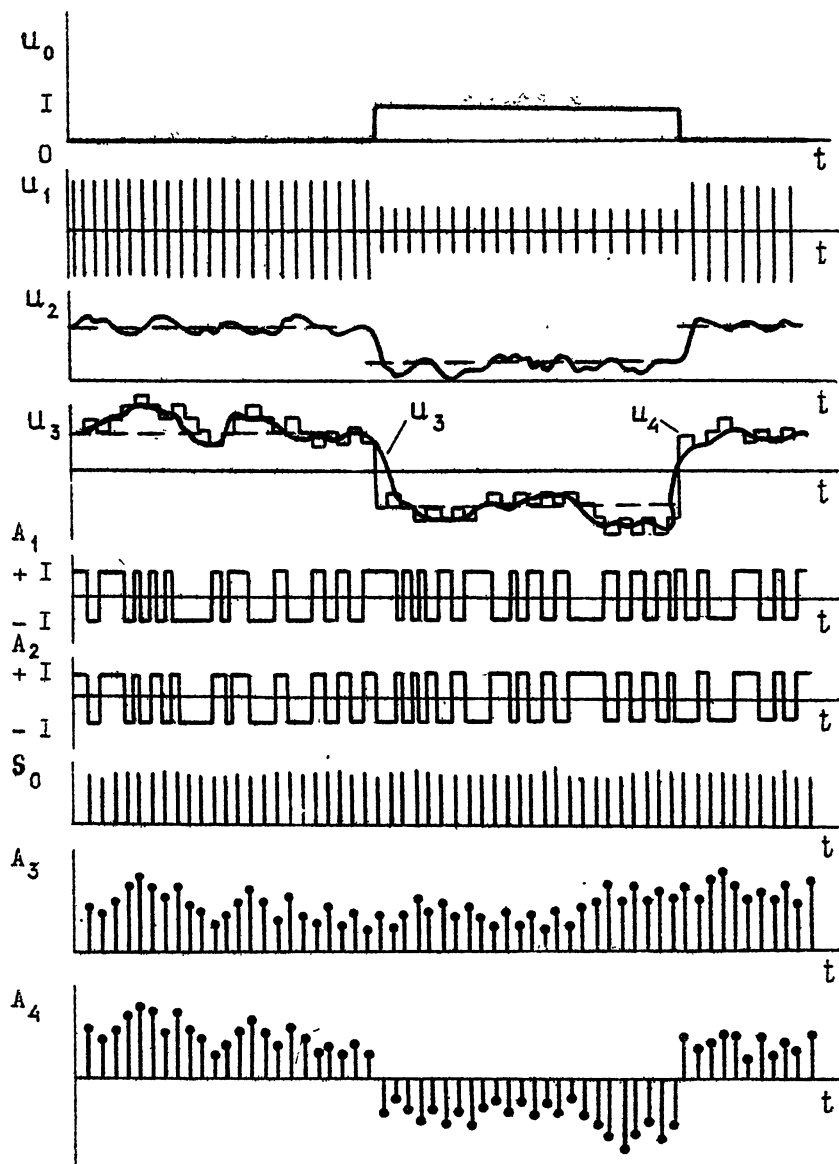


Рис. 5

образователя. Если текущее значение напряжения U_3 на первом входе схемы сравнения больше, чем напряжение U_4 на втором входе, то одноразрядный цифровой код A_1 , на выходе схемы сравнения принимает значение "+I". В случае, когда $U_3 < U_4$ цифровой код A_1 будет равен "-I". В примере конкретной реализации (рис. 4) значению кода "+ I " на выходе схемы соответствует уровень логической единицы, а значению "-I" - уровень логического нуля.

Первая схема изменения знака предназначена для формирования кода A_2 (рис. 5) и представляет собой элемент "исключающее или" (рис. 4). При поступлении на её опорный вход первого полупериода опорного сигнала $U_0(t)$, имеющего уровень логического нуля, происходит передача входного кода A_1 на выход без изменений.

Вторая схема изменения знака, осуществляющая формирование кода A_4 , состоит из комбинационного сумматора SM1 и двух параллельно включённых элементов "исключающее или". Когда U_0 имеет уровень логического нуля, код A_3 , с выхода первого накапливающего сумматора, без изменений проходит схемы "исключающее или" и комбинационный сумматор, так как у последнего не только вход переноса имеет уровень логического нуля, но и заземлён второй вход. Формирование кода A_3 осуществляется первым накапливающим сумматором при поступлении на его входы синхроимпульсов S_0 с блока управления и цифрового кода A_2 . Первый накапливающий сумматор содержит реверсивный счётчик, два параллельно соединённых элемента "и" и один элемент "не", последовательно включённый между входом одного из элементов "и" и выходом первой схемы смены знака. Код A_4 поступает на вход цифроаналогового преобразователя, который преобразует значения цифрового кода A_4 в текущие значения эквивалентного аналогового напряжения U_4 (рис. 5), поступающего на второй вход схемы сравнения.

Если текущие значения напряжений U_3 и U_4 на входах блока сравнения находятся в соотношении $U_3 > U_4$, то с приходом каждого синхроимпульса S_0 первый накапливающий сумматор увеличивает на 1 значение выходного кода A_3 . При этом цифроаналоговый преобразователь увеличивает напряжение U_4 на величину Δ , соответствующую младшему разряду двоичного кода на его входе. Если текущие значения напряжений U_3 и U_4 находятся в соотношении $U_3 < U_4$, то с приходом каждого синхроимпульса S_0 накапливающий сумматор уменьшает на 1 значение выходного кода A_3 . При этом преобразователь уменьшает напряжение U_4 на величину Δ , соответствующую младшему разряду

двоичного кода на его входе. В результате формируемый накапливающим сумматором код A_3 изменяется так, что разность между текущими значениями напряжений U_3 и U_4 уменьшается. После поступления нескольких синхроимпульсов S_0 на синхровход накапливающего сумматора разность между текущими значениями U_3 и U_4 уменьшится до величины меньшей, чем напряжение Δ , соответствующее одному младшему разряду цифрового кода на входе цифроаналогового преобразователя.

Итак, процесс квантования в рассматриваемом случае, осуществляется разностным квантователем, состоящим из схемы сравнения, двух схем изменения знака, первого накапливающего сумматора и цифроаналогового преобразователя. Остановимся подробнее на вопросе о выборе таких его параметров как вес младшего бита цифрового кода и число разрядов n , необходимое для представления выборок U_3 (или $U_d(\Delta t)$). Критерием выбора этих параметров является условие пре-небрежимости вклада в дисперсию оценки \hat{A} шумов квантования $e(t)$. При рассмотрении квантователя, учтем также влияние входных фильтров ФНЧ и ФВЧ, которые предназначены для устранения неинформативной постоянной составляющей и ограничения полосы шума с целью уменьшения эффектов наложения при квантовании. Если считать шум квантования $e(t)$ стационарным, белым и некоррелированным с входным сигналом квантователя, то дисперсия входного сигнала квантователя будет определяться следующим образом [3] :

$$\sigma_Q^2 = 2\sigma_n^2(1 - r_n(\Delta t)) + \sigma_e^2, \quad (9)$$

где $r_n(\Delta t)$ - коэффициент корреляции процесса $U(t)$ с нулевым средним, статистические свойства которого определяются шумом $n(t)$ ввиду малости сигнальной компоненты.

Рассмотрим одно- и двухбитовый квантователи с нелинейными характеристиками $Q_1(x)$ и $Q_2(x)$:

$$Q_1(x) = \begin{cases} -\Delta, & x < 0 \\ \Delta, & x \geq 0 \end{cases}, \quad Q_2(x) = \begin{cases} -\Delta, & x < -\Delta/2 \\ 0, & -\Delta/2 \leq x \leq \Delta/2 \\ \Delta, & x > \Delta/2 \end{cases}$$

Величина шага квантования Δ должна выбираться из условия максимума отношения сигнал/шум на выходе квантователя. Рассчитывая отношение сигнал/шум с помощью метода нормального спектра [4], полу-

чаем

$$\left[\frac{\sigma_Q^2}{\sigma_e^2} \right]_1 = \frac{1}{1 + \left(\frac{\Delta}{\sigma_Q} \right)^2 - \sqrt{\frac{8}{\pi}} \frac{\Delta}{\sigma_Q}}, \quad \Delta_{1\text{опт}} = \sqrt{\frac{2}{\pi}} \sigma_Q, \quad (10)$$

$$\left[\frac{\sigma_Q^2}{\sigma_e^2} \right] = \frac{1}{1 + \left[\frac{\Delta}{\sigma_Q} \right]^2 \left(1 - \operatorname{erf} \frac{\Delta}{\sqrt{8} \sigma_Q} \right) - \sqrt{\frac{8}{\pi}} \left(\frac{\Delta}{\sigma_Q} \right) e^{-\frac{\Delta^2}{8 \sigma_Q^2}}},$$

$$\Delta_{2\text{опт}} = 1,225 \sigma_Q.$$

Учитывая (9) для оптимального шага квантования получаются следующие выражения:

$$\Delta_{1\text{опт}} = 2 \sigma_n \sqrt{1 - r_n(\Delta t)}, \quad \Delta_{2\text{опт}} \approx 1,57 \sigma_n \sqrt{1 - r_n(\Delta t)}. \quad (II)$$

Относительное увеличение дисперсии эченки $\Delta \hat{\sigma}_{\hat{a}}^2$ за счет дискретизации и квантования, при этом, определяется соотношением

$$\frac{\Delta \hat{\sigma}_{\hat{a}}^2}{\hat{\sigma}_{\hat{a}}^2} = C \Delta f_{\text{ФНЧ}} \Delta t (1 - r_n(\Delta t)), \quad (I2)$$

где константа $C = 1,142$ для однобитового и $C = 0,468$ для двухбитового квантования. Соотношение (I2) позволяет выбрать необходимый интервал дискретизации Δt .

Количество разрядов для представления U_i определяется динамическим диапазоном входного сигнала

$$m \geq \log_2 \frac{a_{\max} + 4 \sigma_n}{\Delta_{\text{опт}}} + 1. \quad (I3)$$

При поступлении второго полупериода напряжения U_o на опорный вход первой схемы изменения знака, последняя формирует код A_2 (рис.5),

который имеет значение "+I", если код A_1 имеет значение "-I", и наоборот. Первый накапливающий сумматор осуществляет сложение текущего значения кода A_2 с текущим значением своего выходного кода A_3 (рис. 5). При этом формируется новое значение кода A_3 . При поступлении второго полупериода напряжения U_0 на опорный вход второй схемы изменения знака, последняя формирует код A_4 , значения которого равны значениям кода A_3 с противоположным знаком. Цифроаналоговый преобразователь преобразует значения цифрового кода A_4 в текущие значения эквивалентного аналогового напряжения U_4 (рис. 5). Поскольку обе схемы изменения знака дважды меняют знак кода, то сигнал U_4 следует за изменениями сигнала U_3 так же, как при поступлении на опорные входы этих же схем первого полупериода напряжения U_0 . Однако при этом, значения кода A_3 на выходе разностного квантователя являются цифровыми эквивалентами, взятых с противоположным знаком, текущих значений напряжения U_3 , а среднее значение кода A_3 является эквивалентом взятого с противоположным знаком среднего значения напряжения U_3 , т.е. значения информативной компоненты напряжения U_3 .

Поскольку во втором полупериоде напряжения U_0 информативная компонента напряжения U_3 равна по величине, но противоположна по знаку информативной компоненте напряжения U_3 в первый полупериод напряжения U_0 , то средние значения кода A_3 на выходе квантователя в первый и второй полупериоды напряжения U_0 равны между собой и эквиваленты информативной компоненте напряжения U_3 в первый полупериод напряжения U_0 .

Значения цифрового кода A_3 с выхода первого накапливающего сумматора поступают на вход второго накапливающего сумматора. Накапливающий сумматор (рис. 4) выполнен в виде комбинационного сумматора SM2 и регистра RG1, разрядность которых больше разрядности цифроаналогового преобразователя на величину $\log_2 M$, где M - максимальное число накапливаемых значений кода A_5 (рис. 5) с выхода квантователя. На первый синхровход накапливающего сумматора поступают следующие с частотой f_4 импульсы S_1 (рис. 6). Частота f_4 следования импульсов S_1 и частота f_3 следования импульсов S_0 (рис. 5) связаны соотношением

$$f_4 \approx \frac{f_3}{N}.$$

При поступлении каждого импульса S_1 накапливающий сумматор

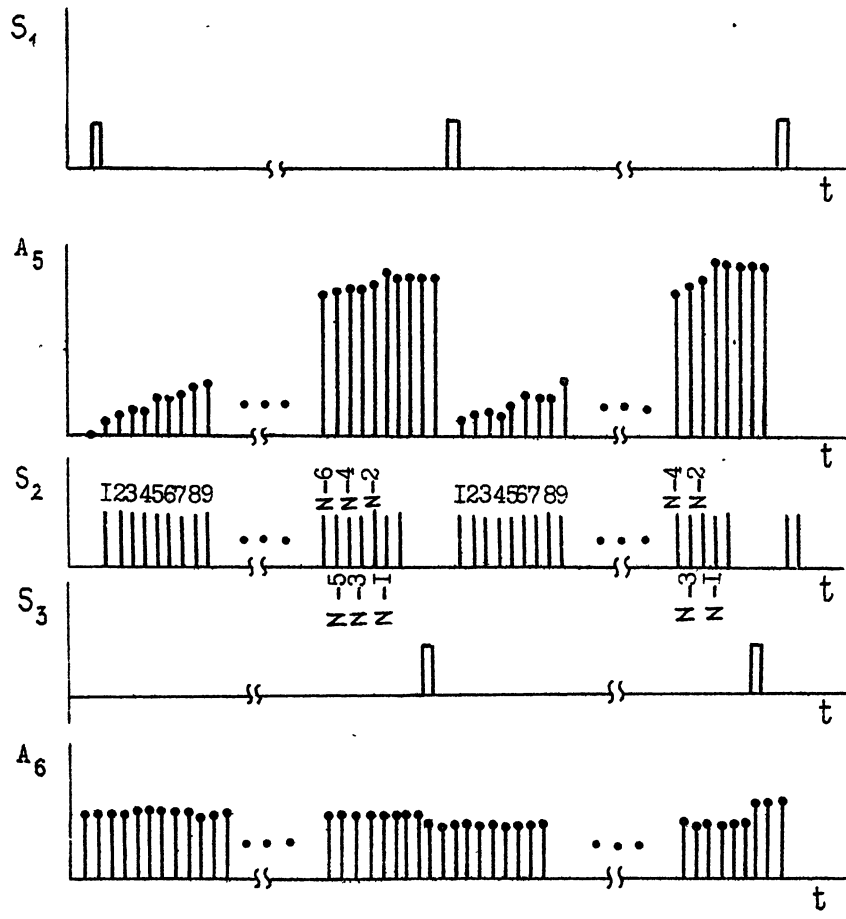


Рис. 6

устанавливает нулевое значение выходного кода A_5 (рис. 6). После поступления каждого импульса S_1 , на первый синхровход второго накапливающего сумматора на второй его синхровход поступают следующие с частотой $f_3 N$ импульсы S_2 (рис. 6). При поступлении каждого импульса S_2 накапливающий сумматор осуществляет суммирование текущего значения кода A_3 с текущим значением выходного кода A_5 . При этом образуется новое значение выходного кода A_5 . После поступления на второй синхровход N импульсов S_2 на выходе накапливающего сумматора образуется значение кода

$$A_5 = \sum_{i=1}^N A_{3i},$$

где N - число значений кода A_3 , которым определяется среднее. Значения кода A_5 поступают на вход формирователя выходного кода, предназначенного для деления цифрового кода A_5 (рис. 6) на N и реализованного в виде мультиплексора MS и шифратора ШФ. Цифровой код числа N подается на управляющий вход формирователя. В результате формируются значения выходного кода, которые подаются на вход выходного регистра. На синхровход выходного регистра с частотой f_4 поступают импульсы S_3 (рис. 6). Причем каждый импульс S_3 формируется блоком управления после формирования каждой последовательности из N импульсов S_2 и перед формированием каждого импульса S_1 . При поступлении каждого импульса S_3 выходной регистр запоминает текущее значение кода A_5 . В результате выходной регистр выделяет из значений кода A_5 только те, которые формируются при поступлении каждого N -когого импульса S_2 на второй синхровход второго накапливающего сумматора. При этом на выходе выходного регистра существует значение выходного кода A_6 (рис. 6), представляющее собой среднее значение кода A_3 , пропорциональное информативной компоненте напряжения U_3 .

$$A_6 = \frac{A_4}{N} = \frac{1}{N} \sum_{i=1}^N A_{3i}.$$

В традиционных модуляционных радиометрах одной из характеристик определяющих чувствительность и точность измерений является постоянная времени усреднения T . В предложенном радиометре эквивалентом

постоянной времени усреднения T является число N значений кода A_3 , по которым определяется среднее. Постоянная времени усреднения T и число N связаны соотношением

$$T = \frac{N}{f_3}.$$

Поскольку в предложенном модуляционном радиометре число N может быть сколь угодно большим, то и эквивалентная ей величина постоянной времени усреднения T также может быть сделана как угодно большой. Это обеспечивает повышение чувствительности, а следовательно и точности измерений по отношению к известным устройствам, в которых увеличение постоянной времени T препятствует низкая стабильность традиционных синхронных детекторов и интеграторов. Операция деления на N трудно реализуема для любого времени усреднения, поэтому с целью упрощения схемы, целесообразно время усреднения выбирать кратным двум, то есть $N = 2^n$, где $n = 0, 1, 2, 3, \dots$. В этом случае операция деления сводится к сдвигу выходного кода на n разрядов в сторону младшего.

Конкретная реализация устройства выполнена в виде автономной конструкции, и может использоваться в любом модуляционном радиометре, имеющем выход сигнала после квадратичного детектора и выход напряжения модуляции. При использовании блока с конкретным радиометром частота среза ФНЧ может изменяться в пределах $0.5 \div 12$ Гц, что с фиксированной частотой среза ФВЧ равной 8 Гц обеспечивает работу всего устройства с любой частотой модуляции в интервале $0.25 \div 1$ кГц. Реализованный интервал дискретизации $\Delta t = 2$ мкс увеличивает дисперсию оценки выходного сигнала не более 0,2% по сравнению с идеальным аналоговым блоком. Однобитовый квантователь собран на интегральном компараторе 52ICA4, цифроанalogовом преобразователе 594 ПА I (ЦАП) и счетчике 564 ИЕII, шаг квантования $\Delta = 0,3 \div 10$ мв, разрядность кода для представления U_i $n = 8$. Синхронное детектирование осуществляется инвертированием кода с выхода компаратора на вход ЦАП синхронно с напряжением модуляции. Время измерения устанавливается переключателями на лицевой панели прибора 1, 2, 4, 16, 32, 64, 128 и 256 сек. Результаты отображаются на четырехразрядном десятичном индикаторе. Имеются аналоговый выход для подключения самописца и цифровой для работы с ЭВМ. Все цифровые узлы прибора выполнены на элементах серии 564, общая потребляемая мощность 5 Вт, питание от сети 220 В, 50 Гц.

Л и т е р а т у р а

1. Есепкина Н.А., Корольков Д.В., Парицкий Д.Н. Радиотелескопы и радиометры. - М.: Наука, 1973.
2. Левин Б.Р. Теоретические основы статистической радиотехники. В 2-х т. - М.: Советское радио, 1968. - Т. 2.
3. Рабинер Л.Р., Шафер Р.В. Цифровая обработка речевых сигналов. - М.: Радио и связь, 1981.
4. Стил Р. Принципы дельта-модуляции. - М.: Связь, 1979.

Дата поступления статьи
9 июня 1988 г.

Сергей Анатольевич Волохов

Сергей Янович Корсаков

Андрей Анатольевич Кочетков

НИЗКОЧАСТОТНЫЙ БЛОК РАДИОМЕТРА В ЦИФРОВОМ ИСПОЛНЕНИИ

Подписано в печать 12.07.88 г. МЦ 00370. Формат 60 x 84 1/16
Бумага писчая. Печать офсетная. Объем 1,27 усл. п. л. Тираж 120.
Заказ 4760. Бесплатно.
